

# 用于光束时间匀滑的谐振腔式相位调制器研究

濮宏图 薛 泉 吴 健 刘盛纲 魏晓峰 袁晓东  
(电子科技大学应用物理研究所 成都 610054) (西南核物理与化学研究所 成都 610003)

**摘要** 介绍了一种用于光束时间匀滑的谐振腔式相位调制器,并通过实验观察得到若干阶边带的频谱展宽。通过理论分析推出了光谱在  $1.053 \mu\text{m}$  处展宽  $0.2 \text{ nm}$  所需谐振腔品质因数的大小。

**关键词** 光谱展宽, 谐振腔, 相位调制器

## 1 引言

惯性约束聚变(ICF)已经从追求高功率转为寻找更有效的方法对光束质量进行控制,其中由于高相干性产生的光束在焦斑处的不均匀性及 SBS(Stimulated Brillouin Scattering),一直是该技术领域科学家努力解决的问题<sup>[1,2]</sup>。SSD(Smoothing by Spectral Dispersion)正是基于这一需求背景下引入的。在 SSD 技术应用中的核心器件是相位调制器。如果采用以固体激光器为前端振荡器,用于谱展宽的相位调制器件对微波功率的要求将非常高。为了缓解对微波源高功率需求的矛盾,采用微波谐振腔技术降低所需的微波源功率是必要的。

## 2 光相位调制的一般原理

相位调制器中微波引起的光相位延迟为<sup>[3]</sup>

$$\varphi = \omega_0 t + \delta \sin \omega_m t$$

其中  $\omega_0$  为光波角频率,  $\omega_m$  为微波角频率, 如果采用横向激励则调制深度

$$\delta = \pi n_e^3 Y_{33} E_m L / \lambda_0 \quad (1)$$

$n_e$  为非常光折射率,  $L$  为晶体中光波与微波作用长度,  $E_m = V/L_z$  为微波在  $z$  方向的场强。被相位调制的光场为

$$e_{\text{out}} = A \cos(\omega_0 t + \delta \sin \omega_m t)$$

上式按贝塞尔函数展开

$$e_{\text{out}} = A [ J_0(\delta) \cos \omega_0 t \pm J_1(\delta) \cos(\omega_0 \pm \omega_m) t + J_2(\delta) \cos(\omega_0 \pm 2\omega_m) t \pm J_3(\delta) \cos(\omega_0 \pm 3\omega_m) t + J_4(\delta) \cos(\omega_0 \pm 4\omega_m) t \dots \dots ]$$

如果光谱展宽  $\Delta\lambda = 0.2 \text{ nm}$ , 中心波长  $\lambda_0 = 1.053 \mu\text{m}$  处光谱展宽频率为

$$\Delta\nu = c \Delta\lambda / \lambda_0^2 \approx 5.4 \times 10^{10} = 54 \text{ (GHz)} \quad (2)$$

当微波频率  $\nu_m$  取 2.45 GHz 时边频带对应的阶数为

$$\Delta\nu/2\nu_m \approx 11$$

如果粗略地把第 11 阶边频的谱作为光谱的展宽点, 则对应的  $\delta = 4\pi \sim 6\pi$ 。(1) 式假定  $L$  与  $L_z$  相当, LiNbO<sub>3</sub> 晶体间电压

$$V = E_m L \quad (3)$$

$n_e = 2.2$ ,  $\gamma_{33} = 30.8 \times 10^{12}$  m/V, 则

$$V \approx \frac{\delta\lambda_0}{\pi n_e^3 \gamma_{33}} \sim 1000 \text{ (V)}$$

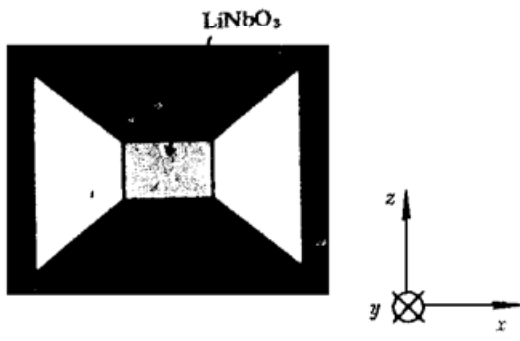
如果是行波激励相位调制器, 取阻抗  $Z = 50 \Omega$ , 微波功率为

$$P_m = V^2/Z = 2 \text{ (MW)}$$

显然, 这样的调制器对微波源的要求太高了。如果选用品质因数为  $Q$  的微波谐振腔, 当满足谐振条件时晶体上的电压是输入电压的  $Q$  倍, 所需微波功率可大大降低。

### 3 微波谐振腔及腔特性

图 1 所示为微波谐振腔通光方向截面图, 腔体是一个凹陷的圆柱腔, 凹陷部分是一个方圆台与矩形六面体晶体上下表面相吻合。该谐振腔参数的理论计算是非常烦琐的, 我们只给出圆柱形谐振腔对应模式频率和品质因数的表达式<sup>[4]</sup>



$$f_{nql} = \frac{c}{2\pi} \left[ \left( \frac{x_{nq}}{a} \right)^2 + \left( \frac{l\pi}{d} \right)^2 \right]^{1/2} \quad (4)$$

$$Q = \lambda_m x_{nq} / [2\pi\delta_s(1 + a/d)] \quad (l = 0) \quad (5)$$

调制器电场为  $z$  方向, 在腔中满足该场分布的基模为  $TM_{010}$  ( $TM_{nql}$  中  $n, q, l$  分别对应  $\varphi, r, z$  方向上磁场的变化次数), 谐振频率由选用的微波源决定为  $f_{010} = \nu_m = 2.45$  GHz,  $x_{nq}$  表示  $J_n(\delta)$  的第  $q$  个根的值  $x_{01} = 2.405$ , (4) 式中  $c$  为真空中光速, 于是腔半径  $a = cx_{01}/2\pi f_{010} = 46.87$  mm。此外, 为了使谐振腔工作在单一模式状态, 必须有  $(2a/d) > 1$ ,  $d$  为腔的高度。(5) 式中取  $2a/d = 1$ ,  $\lambda_m$  为微波真空中波长, 趋肤深度

$$\delta_s = \sqrt{\frac{2}{\omega_m \mu \sigma}} \quad (6)$$

$\mu, \sigma$  分别为相对导磁率和导电率, 以铜为材料  $\delta_s = 6.6f_{010}^{-1/2}$  cm, 由(5) 式可得  $Q = 23434$ 。

由于晶体的介电常数非常大( $\epsilon \approx 23$ ), 且腔体为凹陷结构, 为使用目前所具有的频率为  $f_{010} = \nu_m = 2.45$  GHz 的微波源, 根据(4) 式  $a$  与  $f_{010}$  的反比关系可知, 实际腔体半径  $a$  远小于 46.87 mm,  $Q$  也比理论值小很多。而为抑制  $TE_{111}$  和  $TE_{112}$  等高阶模式腔体高度  $d$  也需做相应调整。耦合方式同样引起谐振频率和品质因数的变化。更为准确的介质谐振腔<sup>[5]</sup>的数值分析也将是非常繁复的。由此可以看出在上述理论基础上的实验工作具有相当难度。

### 4 光谱展宽及测试

#### 4.1 实验系统

图 2 为光谱展宽系统和测试系统,  $z$  方向起偏的  $0.6328 \mu\text{m}$  激光通过晶体, 微波以同样的极化方向加在晶体上并对输入的激光束调制, 从相位调制器输出的光束经散射后进入标准具, 由 CCD 产生视频信号并实时显示和录像, 而分束板分出的另一束则由照相机记录。

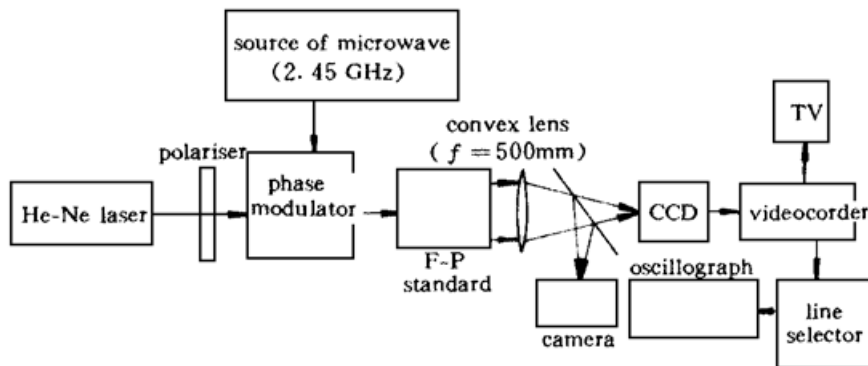


图 2 光谱展宽系统和测试系统示意图

Fig. 2 The schematic diagram of the optical spectrum expansion and measurement system

## 4.2 实验结果

首先对  $a = 29 \text{ mm}$ ,  $d \approx 40 \text{ mm}$  的谐振腔谐振频率及  $Q$  值进行测量, 结果表明中心频率  $f_{010} \approx 2.45 \text{ GHz}$  处品质因数  $Q = \frac{f_{010}}{\Delta f} \approx 100$ 。图 3 是光路中不加起偏器且调制器上无微波注入时, 示波器上观察到的腔长  $180 \text{ mm}$  激光器双纵模振荡情形, 纵模对应波长差为  $0.001 \text{ nm}$ 。F-P 标准具两反射镜间距为  $35 \text{ mm}$ , 自由光谱范围为  $0.005 \text{ nm}$ 。

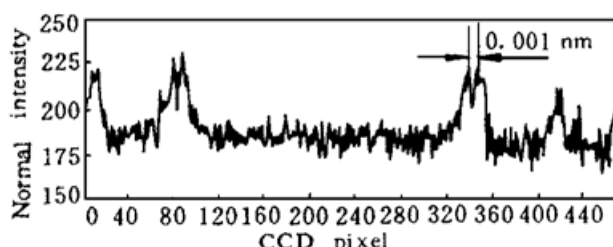


图 3 腔长为  $180 \text{ mm}$  激光器的双纵模强度分布

Fig. 3 The intensity of the  $180 \text{ mm}$  long He-Ne laser with two longitudinal modes

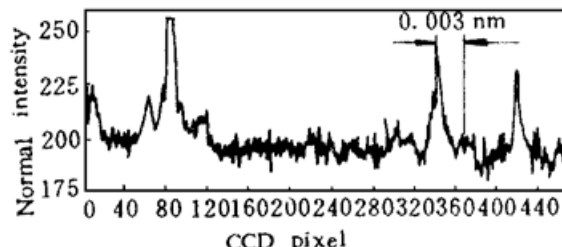


图 4 微波一阶边带的强度分布

Fig. 4 The intensity of the microwave first sideband

图 4 是微波功率约为  $2000 \text{ W}$  时光谱展宽的情况, 可以明显看到正负一阶边带即  $2.45 \text{ GHz}$  的频差(对应波长差为  $0.003 \text{ nm}$ )。由于受测试系统自由光谱范围的限制, 尚未找到在  $0.2 \text{ nm}$  范围内观测各阶边带的更好方法。

## 4.3 数据分析

比较图 3 和图 4 可以看出激光双纵模间距与被调制光零阶和一阶边带间距的比约为  $1/3$ , 恰好符合  $0.001 \text{ nm}/0.003 \text{ nm}$  的关系。在图 4 中一阶边带和零阶的强度比约为  $1/3 \sim 1/4$ , 随着调制深度  $\delta$  从 0 增加, 第一次出现  $|J_1(\delta)/J_0(\delta)|^2 = 1/3$  时对应  $\delta$  约为 1, 由(1), (3) 式, 当激光波长  $\lambda_0$  为  $0.6328 \mu\text{m}$  时,  $V \approx 610 (\text{V})$ 。如果激励电压相同, 激光波长  $\lambda_0$  为  $1.053 \mu\text{m}$  时, 则  $\delta$  为 0.6。根据晶体间电压和波导传输线上电压关系可知, 要使  $\delta$  达到  $4\pi \sim 6\pi$ , 只需  $Q$  提高相同倍数  $4\pi \sim 6\pi$  倍。对于  $1.053 \mu\text{m}$  波长光  $Q$  提高倍数为  $(4\pi \sim 6\pi)/0.6 = 20 \sim 30$  倍。也就是说微波源功率不变, 品质因数要从目前的 100 增加到 3000。比较  $Q$  的理论值和测试值发现二者差异很大, 因此腔体的合理设计和内表面的适当处理, 是提高  $Q$  值并实现用谐振腔完成光

谱展宽的关键。

## 5 结 论

综上所述, 我们通过谐振腔式光相位调制器得到了 He-Ne 激光器  $0.6328 \mu\text{m}$  波长光的至少一阶微波边带的展宽, 并通过计算推出了钕玻璃激光器  $1.053 \mu\text{m}$  波长光展宽  $0.2 \text{ nm}$  时谐振腔所需的  $Q$  值。

## 参 考 文 献

- 1 S. N. Dixit. Numerical modelling of the suppression of stimulated Brillouin scattering due to finite laser bandwidth. *SPIE*, 1992, **1626** : 254~ 265
- 2 J. R. Murray, J. R. Smith, R. B. Ehrlich *et al.*. Experimental observation and suppression of transverse stimulated Brillouin scattering in large optical components. *J. Opt. Soc. Am. B*, 1989, **6**( 12) : 2402~ 2411
- 3 A. Yariv. Quantum Electronics. by Jone Wiley & Sons Inc ( 1975)
- 4 R. E. Collin. Foundations for Microwave Engineering. New York, McGraw Hill, 1966
- 5 Li Ying. Theory and applications of electromagnetic media resonators. Beijing : Electronic Industry Press, 1988, p775~ 779 (in Chinese)

## Research of a Resonant Cavity Phase Modulator Used in SSD

Pu Hongtu Xue Quan Wu Jian Liu Shenggang

(Institute of Applied Physics, University of Electronic Science and Technology of China, Chengdu 610054)

Wei Xiaofeng Yuan Xiaodong

(Institute of South-west Nuclear Physics and Chemistry, Chengdu 610003)

**Abstract** A method employing a cavity phase modulator used as SSD (smoothing by spectral dispersion) is presented. Some frequency side bands are observed experimentally. The quality factor  $Q$  of the resonant cavity, with which the optical spectrum at  $1.053 \mu\text{m}$  can span  $0.2 \text{ nm}$ , is analyzed.

**Key words** spectrum spand, resonance cavity, phase modulator